

図 2 コーティング液剤の固化体破砕片(a)の透過型電子顕微鏡写真。シリカ樹脂の粒状のアモルファスコントラスト中に約 2 nm 径のアナターゼ酸化チタンナノ粒子が見られる(b, c)。

図 2 は液剤の固化体を砕いて得た試料の透過型電子顕微鏡写真である。破砕粒子(図 2a)の端の薄い部分を拡大すると(図 2b)、マトリックスのシリカ樹脂による粒状のアモルファスコントラストが見られ、そこに直径約 2 nm のナノ粒子が均一に分散している様子が見てとれる。ナノ粒子の高分解能像(図 2c)には特徴的な格子縞が見られ、その間隔からアナターゼ型酸化チタンであることが示唆される。粉末 X 線回折パターンにはナノ粒子からの弱くブロードな回折強度がアナターゼのメインピーク位置に観測された。

アナターゼ酸化チタンナノ粒子の存在を明確に示す実験的証拠は、図 3 の X 線吸収端近傍スペクトル(XANES)実験から得られた。チタン K 吸収端の XANES スペクトルは、酸化チタンの 3 種類の多形であるルチル、アナターゼ、ブルッカイトのスペクトルと比較して、ブロードではある

がアナターゼに最も近いスペクトルを示す。さらに、吸収端より低エネルギーのプリエッジ領域には、どの多形にも見られる 3 本のピーク(A1, A2, A3)の代わりに 4.968 keV を中心とする 1 本の強いピークが観測される。このスペクトルは非常に乱れた構造を持つアナターゼナノ粒子に対して過去に報告されたものと類似する。以上の結果から、液剤中の TPT は膜形成過程において乱れた構造を持つアナターゼ酸化チタンに変化して 2nm 径のナノ粒子として析出し、シリカ樹脂膜全体に均一に分散していることが分かった。

コーティング膜中に存在するアナターゼ酸化チタンナノ粒子の光触媒特性を評価するために、メチレンブルー水溶液の脱色実験、およびバクテリアの滅菌実験を行った。超越コートされたガラス基板をメチレンブルー水溶液に浸すと、メチレンブルー濃度は図 4a のように時間と共に減少し、特に紫外線照射下の明条件では 48 時間後に 1.6%にまで減少した。暗条件で見られる減少はポーラスな膜への吸着によるものであり、明条件での付加的な減少が光触媒効果によると思われる。一方、図 4b のように、超越コーティングされた濾紙上に滴下された黄色ブドウ球菌数は、8 時間後に暗所では約 1 桁、明所では 2 桁以上も減少した。よって明確な光触媒効果があり、これは膜中のアナターゼ酸化チタンナノ粒子によるものと考えられる。しかしながら、これらの効果は一般の光触媒材料の特性と比べてかなり弱い。その原因の一つは膜中の酸化チタンの絶対量が少ないことにあり、防汚・抗菌効果の増強にはコーティング液中の TPT 含有量を増やせばよい。

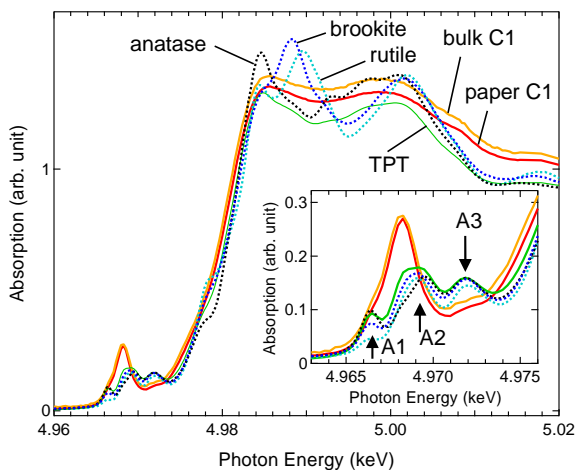


図 3 超越コーティングされた濾紙(paper C1)と液剤を固化したバルク試料(bulk C1)のチタン K 吸収端の XANES スペクトル。参照として、酸化チタンの 3 つの多形であるアナターゼ、ブルッカイト、ルチル、および TPT のみから得た試料(TPT)のスペクトルを示す。

